(19)日本国特許庁(JP)

(12) 公開特許公報(A)

(11)特許出願公開番号

特開2001-242334

(P2001-242334A)

(43)公開日 平成13年9月7日(2001.9.7)

(51) Int.Cl. ⁷		識別記号	FΙ		Ť	7]ド(参考)
G 0 2 B	6/122		G 0 2 B	6/12	Α	2H047
	6/12				N	
	6/13				M	

審査請求 有 請求項の数18 OL 公開請求 (全 17 頁)

(21)出願番号 特願2001-23262(P2001-23262)

(22)出願日 平成13年1月31日(2001.1.31)

(71)出願人 000004226

日本電信電話株式会社

東京都千代田区大手町二丁目3番1号

(72)発明者 松浦 徹

東京都千代田区大手町二丁目3番1号 日

本電信電話株式会社内

(72)発明者 佐々木 重邦

東京都千代田区大手町二丁目3番1号 日

本電信電話株式会社内

(74)代理人 100077481

弁理士 谷 義一 (外1名)

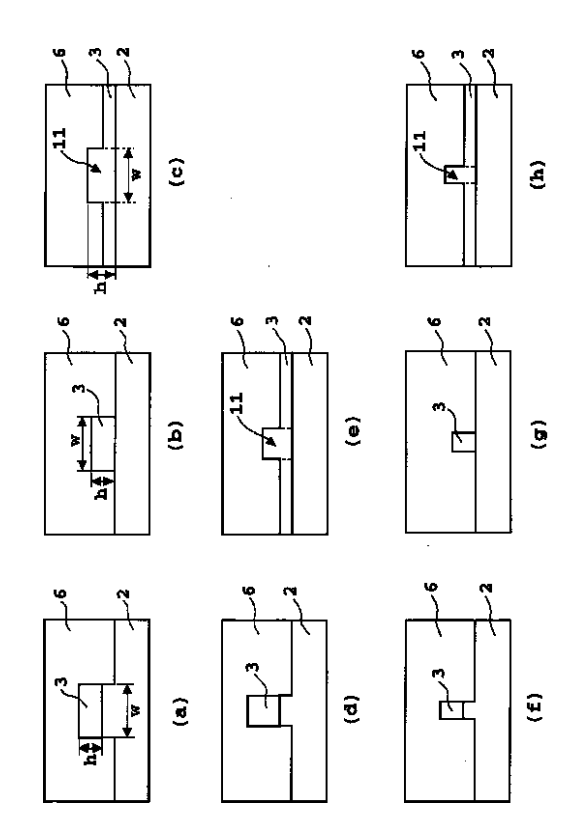
最終頁に続く

(54) 【発明の名称】 異形ポリイミド光導波路およびその製造方法

(57)【要約】

【課題】 種々の光配線、分岐回路あるいは方向性結合器を含む光部品にも適用可能な異形ポリイミド光導波路の提供。

【解決手段】 下部クラッド層と、該下部クラッド層上のコアと、該下部クラッド層および該コアを覆う上部クラッド層とからなり、該下部クラッド層、該コア、および該上部クラッド層はポリイミド材料を用いて作製されている埋め込み型異形ポリイミド光導波路において、前記コアは、コア幅対コア高さの比が1より大きくかつ2以下である矩形断面を有し、および該コアが形成されていない部分の下部クラッド層の厚さは、コア高さの0%より大きくかつ30%以下である範囲内で、該コアが形成されている部分の下部クラッド層の厚さよりも小さいことを特徴とする異形ポリイミド光導波路。



-)

【特許請求の範囲】

【請求項1】 下部クラッド層と、該下部クラッド層上のコアと、該下部クラッド層および該コアを覆う上部クラッド層とからなり、該下部クラッド層、該コア、および該上部クラッド層はポリイミド材料を用いて作製されている埋め込み型異形ポリイミド光導波路において、前記コアは、コア幅対コア高さの比が1より大きくかつ2以下である矩形断面を有し、および該コアが形成されていない部分の下部クラッド層の厚さは、コア高さの0%より大きくかつ30%以下である範囲内で、該コアが10形成されている部分の下部クラッド層の厚さよりも小さいことを特徴とする異形ポリイミド光導波路。

1

【請求項2】 下部クラッド層と、該下部クラッド層上のコアと、該下部クラッド層および該コアを覆う上部クラッド層とからなり、該下部クラッド層、該コア、および該上部クラッド層はポリイミド材料を用いて作製されている埋め込み型異形ポリイミド光導波路において、前記コアは、コア幅対コア高さの比が1より大きくかつ2以下である矩形断面を有し、および該コアが形成されていない部分の下部クラッド層の厚さと、該コアが形成20されている部分の下部クラッド層の厚さとは等しいことを特徴とする異形ポリイミド光導波路。

【請求項3】 下部クラッド層と、該下部クラッド層上の突起部を有するコア層と、該下部クラッド層および該コア層を覆う上部クラッド層とからなり、該突起部と該突起部の下にあるコア層をコアとし、該下部クラッド層、該コア層、および該上部クラッド層はポリイミド材料を用いて作製されている埋め込み型異形ポリイミド光導波路において、

該コアは、コア幅対コア高さの比が1より大きくかつ2以下である矩形断面を有し、および該突起部が形成されていない部分のコア層の厚さは、該コア高さの0%より大きくかつ30%以下であることを特徴とする異形ポリイミド光導波路。

【請求項4】 下部クラッド層と、該下部クラッド層上のコアと、該下部クラッド層および該コアを覆う上部クラッド層とからなり、該下部クラッド層、該コア、および該上部クラッド層はポリイミド材料を用いて作製されている埋め込み型異形ポリイミド光導波路において、

前記コアは、コア幅対コア高さの比が1である正方形断 40 波路。 面を有し、および該コアが形成されていない部分の下部 【請求 クラッド層の厚さは、コア高さの0%より大きくかつ3 (3) 0%以下である範囲内で、該コアが形成されている部分 フッ素 の下部クラッド層の厚さよりも小さい、 種また

ことを特徴とする異形ポリイミド光導波路。

【請求項5】 下部クラッド層と、該下部クラッド層上の突起部を有するコア層と、該下部クラッド層および該コア層を覆う上部クラッド層とからなり、該突起部と該突起部の下にあるコア層をコアとし、該下部クラッド

層、該コア層、および該上部クラッド層はポリイミド材料を用いて作製されている埋め込み型異形ポリイミド光 導波路において、

該コアは、コア幅対コア高さの比が1である正方形断面を有し、および該突起部が形成されていない部分のコア層の厚さは、該コア高さの0%より大きくかつ30%以下であることを特徴とする異形ポリイミド光導波路。

【請求項6】 下部クラッド層と、該下部クラッド層上のコアと、該下部クラッド層および該コアを覆う上部クラッド層とからなり、該下部クラッド層、該コア、および該上部クラッド層はポリイミド材料を用いて作製されている埋め込み型異形ポリイミド光導波路において、

前記コアは、コア幅対コア高さの比が0.7以上1未満である矩形断面を有し、および該コアが形成されていない部分の下部クラッド層の厚さは、コアの高さの0%より大きくかつ30%以下である範囲内で、該コアが形成されている部分の下部クラッド層の厚さよりも小さい、ことを特徴とする異形ポリイミド光導波路。

【請求項7】 下部クラッド層と、該下部クラッド層上のコアと、該下部クラッド層および該コアを覆う上部クラッド層とからなり、該下部クラッド層、該コア、および該上部クラッド層はポリイミド材料を用いて作製されている埋め込み型異形ポリイミド光導波路において、前記コアは、コア幅対コア高さの比が0.7以上1未満である矩形断面を有し、および該コアが形成されていない部分の下部クラッド層の厚さと、該コアが形成されている部分の下部クラッド層の厚さとは等しいことを特徴とする異形ポリイミド光導波路。

【請求項8】 下部クラッド層と、該下部クラッド層上の突起部を有するコア層と、該下部クラッド層および該コア層を覆う上部クラッド層とからなり、該突起部と該突起部の下にあるコア層をコアとし、該下部クラッド層、該コア層、および該上部クラッド層はポリイミド材料を用いて作製されている埋め込み型異形ポリイミド光導波路において、

該コアは、コア幅対コア高さの比が 0 . 7以上 1未満である矩形断面を有し、および該突起部が形成されていない部分のコア層の厚さは、該コア高さの 0%より大きく30%以下であることを特徴とする異形ポリイミド光導波路。

【請求項9】 前記ポリイミド材料は、式(1)~(3)のいずれかで表わされる繰り返し単位からなる含フッ素ポリイミド、式(1)~(3)から選択される2種または3種の繰り返し単位からなる含フッ素ポリイミド共重合体、およびそれらの混合物からなる群から選択されることを特徴とする請求項1~8のいずれかに記載の異形ポリイミド光導波路。

【化1】

【化2】

$$\begin{bmatrix}
0 & & & & & & \\
0 & & & & & & \\
0 & & & & & & \\
0 & & & & & & \\
0 & & & & & & \\
0 & & & & & & \\
0 & & & & & & \\
0 & & & & & & \\
0 & & & & & & \\
0 & & & & & & \\
0 & & & & & & \\
0 & & & & & & \\
0 & & & & & & \\
0 & & & & & & \\
0 & & & & & & \\
0 & & & & & & \\
0 & & & & & & \\
0 & & & & & & \\
0 & & & & & & \\
0 & & & & & & \\
0 & & & & & & \\
0 & & & & & & \\
0 & & & & & & \\
0 & & & & & & \\
0 & & & & & & \\
0 & & & & & & \\
0 & & & & & & \\
0 & & & & & & \\
0 & & & & & & \\
0 & & & & & & \\
0 & & & & & & \\
0 & & & & & & \\
0 & & & & & & \\
0 & & & & & & \\
0 & & & & & & \\
0 & & & & & & \\
0 & & & & & & \\
0 & & & & & & \\
0 & & & & & & \\
0 & & & & & & \\
0 & & & & & & \\
0 & & & & & & \\
0 & & & & & & \\
0 & & & & & & \\
0 & & & & & & \\
0 & & & & & & \\
0 & & & & & & \\
0 & & & & & & \\
0 & & & & & & \\
0 & & & & & & \\
0 & & & & & & \\
0 & & & & & & \\
0 & & & & & & \\
0 & & & & & & \\
0 & & & & & & \\
0 & & & & & & \\
0 & & & & & & \\
0 & & & & & & \\
0 & & & & & & \\
0 & & & & & & \\
0 & & & & & & \\
0 & & & & & & \\
0 & & & & & & \\
0 & & & & & & \\
0 & & & & & & \\
0 & & & & & & \\
0 & & & & & & \\
0 & & & & & & \\
0 & & & & & & \\
0 & & & & & & \\
0 & & & & & & \\
0 & & & & & & \\
0 & & & & & & \\
0 & & & & & & \\
0 & & & & & & \\
0 & & & & & & \\
0 & & & & & & \\
0 & & & & & & \\
0 & & & & & & \\
0 & & & & & & \\
0 & & & & & & \\
0 & & & & & & \\
0 & & & & & & \\
0 & & & & & & \\
0 & & & & & & \\
0 & & & & & & \\
0 & & & & & & \\
0 & & & & & & \\
0 & & & & & & \\
0 & & & & & & \\
0 & & & & & & \\
0 & & & & & & \\
0 & & & & & & \\
0 & & & & & & \\
0 & & & & & & \\
0 & & & & & & \\
0 & & & & & & \\
0 & & & & & & \\
0 & & & & & & \\
0 & & & & & \\
0 & & & & & \\
0 & & & & & \\
0 & & & & & \\
0 & & & & & \\
0 & & & & & \\
0 & & & & & \\
0 & & & & & \\
0 & & & & & \\
0 & & & & & \\
0 & & & & & \\
0 & & & & & \\
0 & & & & & \\
0 & & & & & \\
0 & & & & & \\
0 & & & & & \\
0 & & & & & \\
0 & & & & & \\
0 & & & & & \\
0 & & & & & \\
0 & & & & & \\
0 & & & & & \\
0 & & & & & \\
0 & & & & & \\
0 & & & & & \\
0 & & & & & \\
0 & & & & & \\
0 & & & & & \\
0 & & & & \\
0 & & & & & \\
0 & & & & & \\
0 & & & & & \\
0 & & & & \\$$

【化3】

【請求項10】 下部クラッド層およびコア層を積層する工程と、

該コア層をエッチングしてコアを形成する工程であって、前記コアはコア幅対コア高さの比が1より大きくかつ2以下である矩形断面を有し、かつ該コア層のエッチング深さは、コア層の高さの100%より大きくかつ130%以下である工程と、

上部クラッド層を積層する工程とを備え、該下部クラッド層、コア層および上部クラッド層はポリイミド材料を用いた作製されることを特徴とする異形ポリイミド光導 30波路の製造方法。

【請求項11】 下部クラッド層およびコア層を積層する工程と、

該コア層をエッチングしてコアを形成する工程であって、前記コアはコア幅対コア高さの比が1より大きくかつ2以下である矩形断面を有し、かつ該コア層のエッチング深さは、コア層の高さと等しい工程と、

上部クラッド層を積層する工程とを備え、該下部クラッド層、コア層および上部クラッド層はポリイミド材料を用いた作製されることを特徴とする異形ポリイミド光導波路の製造方法。

【請求項12】 下部クラッド層およびコア層を積層する工程と、

該コア層をエッチングしてコアを形成する工程であって、前記コアはコア幅対コア高さの比が1より大きくかつ2以下である矩形断面を有し、かつ該コア層のエッチング深さは、コア層の高さの70%以上100%未満である工程と、

上部クラッド層を積層する工程とを備え、該下部クラッ さは、コア層の高さ ド層、コア層および上部クラッド層はポリイミド材料を 50 以下である工程と、

用いた作製されることを特徴とする異形ポリイミド光導 波路の製造方法。

【請求項13】 下部クラッド層およびコア層を積層する工程と、

該コア層をエッチングしてコアを形成する工程であって、前記コアはコア幅対コア高さの比が1である正方形断面を有し、かつ該コア層のエッチング深さは、コア層の高さの100%より大きくかつ130%以下である工程と、

0 上部クラッド層を積層する工程とを備え、該下部クラッド層、コア層および上部クラッド層はポリイミド材料を用いた作製されることを特徴とする異形ポリイミド光導波路の製造方法。

【請求項14】 下部クラッド層およびコア層を積層する工程と、

該コア層をエッチングしてコアを形成する工程であって、前記コアはコア幅対コア高さの比が1である正方形断面を有し、かつ該コア層のエッチング深さは、コア層の高さの70%以上100%未満である工程と、

40 上部クラッド層を積層する工程とを備え、該下部クラッド層、コア層および上部クラッド層はポリイミド材料を用いた作製されることを特徴とする異形ポリイミド光導波路の製造方法。

【請求項15】 下部クラッド層およびコア層を積層する工程と、

該コア層をエッチングしてコアを形成する工程であって、前記コアはコア幅対コア高さの比が0.7以上1未満である矩形断面を有し、かつ該コア層のエッチング深さは、コア層の高さの100%より大きくかつ130%以下である工程と、

上部クラッド層を積層する工程とを備え、該下部クラッド層、コア層および上部クラッド層はポリイミド材料を用いた作製されることを特徴とする異形ポリイミド光導波路の製造方法。

【請求項16】 下部クラッド層およびコア層を積層する工程と、

該コア層をエッチングしてコアを形成する工程であって、前記コアはコア幅対コア高さの比が0.7以上1未満である矩形断面を有し、かつ該コア層のエッチング深さは、コア層の高さと等しい工程と、

上部クラッド層を積層する工程とを備え、該下部クラッド層、コア層および上部クラッド層はポリイミド材料を用いた作製されることを特徴とする異形ポリイミド光導波路の製造方法。

【請求項17】 下部クラッド層およびコア層を積層する工程と、

該コア層をエッチングしてコアを形成する工程であっ

* て、前記コアはコア幅対コア高さの比が0.7以上1未満である矩形断面を有し、かつ該コア層のエッチング深さは、コア層の高さの70%以上100%未満である工程と、

上部クラッド層を積層する工程とを備え、該下部クラッド層、コア層および上部クラッド層はポリイミド材料を用いた作製されることを特徴とする異形ポリイミド光導 波路の製造方法。

【請求項18】 前記ポリイミド材料は、式(1)~10 (3)のいずれかで表わされる繰り返し単位からなる含フッ素ポリイミド、式(1)~(3)から選択される2種または3種の繰り返し単位からなる含フッ素ポリイミド共重合体、およびそれらの混合物からなる群から選択されることを特徴とする請求項10~17のいずれかに記載の異形ポリイミド光導波路の製造方法。

【化4】

(4)

【化5】

$$\begin{bmatrix}
0 & & & & & \\
0 & & & & & \\
0 & & & & & \\
0 & & & & & \\
0 & & & & & \\
0 & & & & & \\
0 & & & & & \\
0 & & & & & \\
0 & & & & & \\
0 & & & & & \\
0 & & & & & \\
0 & & & & & \\
0 & & & & & \\
0 & & & & & \\
0 & & & & & \\
0 & & & & & \\
0 & & & & & \\
0 & & & & & \\
0 & & & & & \\
0 & & & & & \\
0 & & & & & \\
0 & & & & & \\
0 & & & & & \\
0 & & & & & \\
0 & & & & & \\
0 & & & & & \\
0 & & & & & \\
0 & & & & & \\
0 & & & & & \\
0 & & & & & \\
0 & & & & & \\
0 & & & & & \\
0 & & & & & \\
0 & & & & & \\
0 & & & & & \\
0 & & & & & \\
0 & & & & & \\
0 & & & & & \\
0 & & & & & \\
0 & & & & & \\
0 & & & & & \\
0 & & & & & \\
0 & & & & & \\
0 & & & & & \\
0 & & & & & \\
0 & & & & & \\
0 & & & & & \\
0 & & & & & \\
0 & & & & & \\
0 & & & & & \\
0 & & & & & \\
0 & & & & & \\
0 & & & & & \\
0 & & & & & \\
0 & & & & & \\
0 & & & & & \\
0 & & & & & \\
0 & & & & & \\
0 & & & & & \\
0 & & & & & \\
0 & & & & & \\
0 & & & & & \\
0 & & & & & \\
0 & & & & & \\
0 & & & & & \\
0 & & & & & \\
0 & & & & & \\
0 & & & & & \\
0 & & & & & \\
0 & & & & & \\
0 & & & & & \\
0 & & & & & \\
0 & & & & & \\
0 & & & & & \\
0 & & & & & \\
0 & & & & & \\
0 & & & & & \\
0 & & & & & \\
0 & & & & & \\
0 & & & & & \\
0 & & & & & \\
0 & & & & & \\
0 & & & & & \\
0 & & & & & \\
0 & & & & & \\
0 & & & & & \\
0 & & & & & \\
0 & & & & & \\
0 & & & & & \\
0 & & & & & \\
0 & & & & & \\
0 & & & & & \\
0 & & & & & \\
0 & & & & & \\
0 & & & & & \\
0 & & & & & \\
0 & & & & & \\
0 & & & & & \\
0 & & & & & \\
0 & & & & & \\
0 & & & & \\
0 & & & & & \\
0 & & & & & \\
0 & & & & & \\
0 & & & & \\
0 & & & & & \\
0 & & & & & \\
0 & & & & & \\
0 & & & & & \\
0 & & & & & \\
0 & & & & & \\
0 & & & & & \\
0 & & & & & \\
0 & & & & & \\
0 & & & & \\
0 & & & & & \\
0 & & & & & \\
0 & & & & & \\
0 & & & & \\
0 & & & & & \\
0 & & & & \\
0 & & & & \\
0 & & & & \\
0 & & & & \\
0 & & & & \\
0 & & & & \\
0 & & & & \\
0 & & & & \\
0 & & & & \\
0 & & & & \\
0 & & & & \\
0 & & & & \\
0 & & & & \\
0 & & & & \\
0 & & & & \\
0 & & & & \\
0 & & & & \\
0 & & & & \\
0 & & & & \\
0 & & & & \\
0 & & & & \\
0 & & & & \\
0 & & & & \\
0 & & & & \\
0 & & & \\
0 & & & & \\
0 & & & & \\
0 & & & & \\
0 & & & & \\
0 & & & & \\
0 & & & & \\$$

【化6】

【発明の詳細な説明】

[0001]

【発明の属する技術分野】本発明は、ポリイミドを用い 40 た光導波路に関し、より詳細には、コアの幅と高さとの比を変更しても導波モードがシングルモードとなる低損失の埋め込み型光導波路に関する。

[0002]

【従来の技術】低損失光ファイバの開発による光通信システムの実用化に伴い、種々の光通信用部品の開発が望まれている。また、これら光部品を高密度に実装する光配線技術、特に光導波路形成技術の確立が望まれている。

【0003】一般に、光導波路には、(1)光損失が小 50 問題点がある。

さい、(2)製造が容易である、(3)偏波依存性が小さい、(4)コアとクラッドとの屈折率差を幅広い範囲で制御できる等の特性を有することが所望されている。従来、低損失光導波路として、石英系の材料を用いたものが検討されてきている。光ファイバで実証されているように、石英系の材料は光透過性が極めて良好であり、導波路とした場合も1.3μmの波長の光に関して0.1dB/cm以下の低損失化が達成されている。しかし、石英系材料は柔軟性に乏しいため、シリコン等の基板上に作製する必要があり、基板上で使用しなければならないという制約がある。また、作製時に高温処理が必要であり、さらに大面積化が困難であるなどの製造上の

(5)

20

7

【0004】石英系材料の上記の問題点を解決するために、ポリメチルメタクリレート(PMMA)、ポリスチレン(PS)、ポリカーボネート(PC)等の材料を用いる高分子光導波路が検討されて来ている。これらの高分子光導波路は、石英系光導波路と比較して、耐熱温度が低い、近赤外域より長波長側の領域での光損失が大きいなどの欠点を未だ有している。しかしながら、より低い温度で成形が可能であり、加工が容易であるため、低価格化を期待することができ、かつ大面積化に有利であるといった長所を有している。また、本発明者らは、特10開平4-9807号公報に記載される、高分子材料に耐熱性を付与したポリイミド系高分子光導波路が基板上に製造できることを見いだしている。

[0005]

【発明が解決しようとする課題】上記ポリイミド系光導波路も含めて、一般の通信用シングルモード光導波路のコアの断面形状は、導波モードをシングルモードとすること、およびシングルモードファイバーのモードフィールド径とコアの寸法を整合させること等の要請から、高さおよび幅が8~10μm程度の正方形断面として設計および作製されてきている。しかしながら、これらの光導波路を、種々の光配線(高密度あるいは低密度、直線または曲線、種々の形状を有する光射出面およい光入射面との高効率な接続)、あるいは分岐回路および方向性結合器を含む光部品に適用する場合、光導波路の断面形状は正方形以外に、縦長あるいは横長の形状であることが必要となる。

【0006】高分子光導波路は、一般的に下部クラッド層の上に一様なコア層を積層し、該コア層をエッチングしてパターン化されたコアを形成し、そして該コアおよび下部クラッド層を覆う上部クラッド層を積層して形成される。このようにエッチングによりコアパターンを形成する際に、そのエッチングの終点付近(すなわち、エッチングにより露出する底面、およびコア側壁の下部)は、エッチングによる表面荒れ、コア側壁の垂直性の欠陥、およびクラック等の複雑な形状効果を有し、高精度な垂直性および均一性がコア側面に要求される場合に問題となる。また、コアの位置安定性が特に重要な場合に、コアの位置安定性を如何に向上させるかが問題である。

[0007]

【課題を解決するための手段】本発明者らは、上記の課題を解決するに当たり、光導波路の構造設計を鋭意検討し、以下のような断面構造を有する異形ポリイミド光導波路を発明し、低損失のシングルモード導波を実現できることを見いだした。

【0008】また、本発明の異形ポリイミド導波路において、コアパターンのエッチングの深さをコア層の厚さよりも大きくすることによって、エッチング上面の表面荒れに基づく不良界面あるいはエッチング時に生じるコ 50

ア側面脇(コア近傍の下部クラッド層)のクラック等を コアから遠ざけてコア側面の高精度な垂直性および均一 性を達成することができ、該クラックによる性能尖化を

性を達成することができ、該クラックによる性能劣化を 抑制することができる。

【0009】さらに本発明の異形ポリイミド導波路において、コアパターンのエッチング深さをコア層の厚さよりも小さくすることによって、コア部の位置安定性を向上させるとともに、光導波路作製に伴う歪み(応力発

上させるとともに、光導波路作製に伴つ金み(心刀発生)により生じる性能劣化を抑制することができる。

【0010】本発明の第1の実施形態である埋め込み型 異形ポリイミド光導波路は、下部クラッド層と、該下部 クラッド層上のコアと、該下部クラッド層および該コア を覆う上部クラッド層とからなり、該下部クラッド層、 該コア、および該上部クラッド層はポリイミド材料を用いて作製されており、前記コアは、コア幅対コア高さの 比が1より大きくかつ2以下である矩形断面を有し、および該コアが形成されていない部分の下部クラッド層の 厚さは、コア高さの0%より大きくかつ30%以下である範囲内で、該コアが形成されている部分の下部クラッド層の 厚さよりも小さいことを特徴とする。

【0011】本発明の第2の実施形態である埋め込み型 異形ポリイミド光導波路は、下部クラッド層と、該下部 クラッド層上のコアと、該下部クラッド層および該コア を覆う上部クラッド層とからなり、該下部クラッド層、 該コア、および該上部クラッド層はポリイミド材料を用 いて作製されており、前記コアは、コア幅対コア高さの 比が1より大きくかつ2以下である矩形断面を有し、お よび該コアが形成されていない部分の下部クラッド層の 厚さと、該コアが形成されている部分の下部クラッド層 の厚さとは等しいことを特徴とする。

【0012】本発明の第3の実施形態である埋め込み型 異形ポリイミド光導波路は、下部クラッド層と、該下部 クラッド層上の突起部を有するコア層と、該下部クラッ ド層および該コア層を覆う上部クラッド層とからなり、 該突起部と該突起部の下にあるコア層をコアとし、該下 部クラッド層、該コア層、および該上部クラッド層はポ リイミド材料を用いて作製されており、該コアは、コア 幅対コア高さの比が1より大きくかつ2以下である矩形 断面を有し、および該突起部が形成されていない部分の 40 コア層の厚さは、該コア高さの0%より大きくかつ30 %以下であることを特徴とする。

【0013】本発明の第4の実施形態である埋め込み型異形ポリイミド光導波路は、下部クラッド層と、該下部クラッド層上のコアと、該下部クラッド層および該コアを覆う上部クラッド層とからなり、該下部クラッド層、該コア、および該上部クラッド層はポリイミド材料を用いて作製されており、前記コアは、コア幅対コア高さの比が1である正方形断面を有し、および該コアが形成されていない部分の下部クラッド層の厚さは、コア高さの0%より大きくかつ30%以下である範囲内で、該コア

が形成されている部分の下部クラッド層の厚さよりも小 さいことを特徴とする。

【0014】本発明の第5の実施形態である埋め込み型 異形ポリイミド光導波路は、下部クラッド層と、該下部 クラッド層上の突起部を有するコア層と、該下部クラッ ド層および該コア層を覆う上部クラッド層とからなり、 該突起部と該突起部の下にあるコア層をコアとし、該下 部クラッド層、該コア層、および該上部クラッド層はポ リイミド材料を用いて作製されており、該コアは、コア 幅対コア高さの比が1である正方形断面を有し、および 該突起部が形成されていない部分のコア層の厚さは、該 コア高さの0%より大きくかつ30%以下であることを 特徴とする。

【0015】本発明の第6の実施形態である埋め込み型 異形ポリイミド光導波路は、下部クラッド層と、該下部 クラッド層上のコアと、該下部クラッド層および該コア を覆う上部クラッド層とからなり、該下部クラッド層、 該コア、および該上部クラッド層はポリイミド材料を用 いて作製されており、前記コアは、コア幅対コア高さの 比が0.7以上1未満である矩形断面を有し、および該20 み型異形ポリイミド光導波路において、前記ポリイミド コアが形成されていない部分の下部クラッド層の厚さ は、コアの高さの0%より大きくかつ30%以下である 範囲内で、該コアが形成されている部分の下部クラッド 層の厚さよりも小さいことを特徴とする。

【0016】本発明の第7の実施形態である埋め込み型 異形ポリイミド光導波路は、下部クラッド層と、該下部 クラッド層上のコアと、該下部クラッド層および該コア* *を覆う上部クラッド層とからなり、該下部クラッド層、 該コア、および該上部クラッド層はポリイミド材料を用 いて作製されており、前記コアは、コア幅対コア高さの 比が0.7以上1未満である矩形断面を有し、および該 コアが形成されていない部分の下部クラッド層の厚さ と、該コアが形成されている部分の下部クラッド層の厚 さとは等しいことを特徴とする。

【0017】本発明の第8の実施形態である埋め込み型 異形ポリイミド光導波路は、下部クラッド層と、該下部 クラッド層上の突起部を有するコア層と、該下部クラッ ド層および該コア層を覆う上部クラッド層とからなり、 該突起部と該突起部の下にあるコア層をコアとし、該下 部クラッド層、該コア層、および該上部クラッド層はポ リイミド材料を用いて作製されており、該コアは、コア 幅対コア高さの比が0.7以上1未満である矩形断面を 有し、および該突起部が形成されていない部分のコア層 の厚さは、該コア高さの0%より大きく30%以下であ ることを特徴とする。

【0018】本発明の第1から第8の実施形態の埋め込 材料は、式(1)~(3)のいずれかで表わされる繰り 返し単位からなる含フッ素ポリイミド、式(1)~ (3)から選択される2種または3種の繰り返し単位か らなる含フッ素ポリイミド共重合体、およびそれらの混 合物からなる群から選択されてもよい。

[0019]

【化7】

(6)

[0020]

[0021]

$$\begin{array}{c|c} & & & & & & & \\ \hline \begin{array}{c} & & & & & \\ & & & & \\ & & & \\ & & & \\ & & & \\ & & & \\ \end{array} \end{array}$$

【0022】本発明の第9の実施形態である異形ポリイ ミド光導波路の製造方法は、下部クラッド層およびコア 層を積層する工程と、該コア層をエッチングしてコアを 50 つ該コア層のエッチング深さは、コア層の高さの100

形成する工程であって、前記コアはコア幅対コア高さの 比が1より大きくかつ2以下である矩形断面を有し、か (7)

12

%より大きくかつ130%以下である工程と、上部クラ ッド層を積層する工程とを備え、該下部クラッド層、コ ア層および上部クラッド層はポリイミド材料を用いた作 製されることを特徴とする。

【0023】本発明の第10の実施形態である異形ポリ イミド光導波路の製造方法は、下部クラッド層およびコ ア層を積層する工程と、該コア層をエッチングしてコア を形成する工程であって、前記コアはコア幅対コア高さ の比が1より大きくかつ2以下である矩形断面を有し、 かつ該コア層のエッチング深さは、コア層の高さと等し い工程と、上部クラッド層を積層する工程とを備え、該 下部クラッド層、コア層および上部クラッド層はポリイ ミド材料を用いた作製されることを特徴とする。

【0024】本発明の第11の実施形態である異形ポリ イミド光導波路の製造方法は、下部クラッド層およびコ ア層を積層する工程と、該コア層をエッチングしてコア を形成する工程であって、前記コアはコア幅対コア高さ の比が1より大きくかつ2以下である矩形断面を有し、 かつ該コア層のエッチング深さは、コア層の高さの70 %以上100%未満である工程と、上部クラッド層を積 20 ラッド層、コア層および上部クラッド層はポリイミド材 層する工程とを備え、該下部クラッド層、コア層および 上部クラッド層はポリイミド材料を用いた作製されるこ とを特徴とする。

【0025】本発明の第12の実施形態である異形ポリ イミド光導波路の製造方法は、下部クラッド層およびコ ア層を積層する工程と、該コア層をエッチングしてコア を形成する工程であって、前記コアはコア幅対コア高さ の比が1である正方形断面を有し、かつ該コア層のエッ チング深さは、コア層の高さの100%より大きくかつ 130%以下である工程と、上部クラッド層を積層する 30 ラッド層はポリイミド材料を用いた作製されることを特 工程とを備え、該下部クラッド層、コア層および上部ク ラッド層はポリイミド材料を用いた作製されることを特 徴とする。

【0026】本発明の第13の実施形態である異形ポリ イミド光導波路の製造方法は、下部クラッド層およびコ ア層を積層する工程と、該コア層をエッチングしてコア を形成する工程であって、前記コアはコア幅対コア高さ の比が1である正方形断面を有し、かつ該コア層のエッ チング深さは、コア層の高さの70%以上100%未満 である工程と、上部クラッド層を積層する工程とを備 *40

* え、該下部クラッド層、コア層および上部クラッド層は ポリイミド材料を用いた作製されることを特徴とする。 【0027】本発明の第14の実施形態である異形ポリ イミド光導波路の製造方法は、下部クラッド層およびコ ア層を積層する工程と、該コア層をエッチングしてコア を形成する工程であって、前記コアはコア幅対コア高さ の比が0.7以上1未満である矩形断面を有し、かつ該 コア層のエッチング深さは、コア層の高さの100%よ り大きくかつ130%以下である工程と、上部クラッド 層を積層する工程とを備え、該下部クラッド層、コア層 および上部クラッド層はポリイミド材料を用いた作製さ れることを特徴とする。

【0028】本発明の第15の実施形態である異形ポリ イミド光導波路の製造方法は、下部クラッド層およびコ ア層を積層する工程と、該コア層をエッチングしてコア を形成する工程であって、前記コアはコア幅対コア高さ の比が0.7以上1未満である矩形断面を有し、かつ該 コア層のエッチング深さは、コア層の高さと等しい工程 と、上部クラッド層を積層する工程とを備え、該下部ク 料を用いた作製されることを特徴とする。

【0029】本発明の第16の実施形態である異形ポリ イミド光導波路の製造方法は、下部クラッド層およびコ ア層を積層する工程と、該コア層をエッチングしてコア を形成する工程であって、前記コアはコア幅対コア高さ の比が0.7以上1未満である矩形断面を有し、かつ該 コア層のエッチング深さは、コア層の高さの70%以上 100%未満である工程と、上部クラッド層を積層する 工程とを備え、該下部クラッド層、コア層および上部ク 徴とする。

【0030】本発明の第9から第16の実施形態である 異形ポリイミド光導波路の製造方法において、前記ポリ イミド材料は、式(1)~(3)のいずれかで表わされ る繰り返し単位からなる含フッ素ポリイミド、式(1) ~ (3) から選択される2種または3種の繰り返し単位 からなる含フッ素ポリイミド共重合体、およびそれらの 混合物からなる群から選択されてもよい。

[0031]

【化10】

[0032] 【化11】

[0033]

[0034]

【発明の実施の形態】本発明に用いるポリイミド材料としては、光透過性の観点から、特に光透過性に優れた含フッ素ポリイミドが好適である。ポリイミドの具体例としては、下記のテトラカルボン酸またはその誘導体である酸二無水物あるいは塩化物と、ジアミンとから合成されるポリイミドを挙げることができる。

【0035】テトラカルボン酸の例としては、ピロメリ ット酸、トリフルオロメチルピロメリット酸、ペンタフ ルオロエチルピロメリット酸、ビス { 3,5 - ジ(トリフ ルオロメチル)フェノキシ } ピロメリット酸、2,3, 3',4'-ビフェニルテトラカルボン酸、3,3',4,4' - テトラカルボキシジフェニルエーテル、2,3',3, 4'-テトラカルボキシジフェニルエーテル、3,3', 4,4'-ベンゾフェノンテトラカルボン酸、2,3,6, 7 - テトラカルボキシナフタレン、1,4,5,7 - テト ラカルボキシナフタレン、1,4,5,6-テトラカルボ キシナフタレン、3,3',4,4'-テトラカルボキシジ フェニルメタン、3,3',4,4'-テトラカルボキシジ フェニルスルホン、2,2-ビス(3,4-ジカルボキシ フェニル)プロパン、2,2-ビス(3,4-ジカルボキシ フェニル) ヘキサフルオロプロパン、5,5'-ビス(トリ フルオロメチル) - 3,3',4,4' - テトラカルボキシビ フェニル、2,2',5,5'-テトラキス(トリフルオロメ チル) - 3,3',4,4'-テトラカルボキシヒ゛フェニ ル、5,5'-ビス(トリフルオロメチル)-3,3',4, 4'-テトラカルボキシジフェニルエーテル、5,5'-ビス(トリフルオロメチル) - 3,3',4,4' - テトラカ ルボキシベンゾフェノン、ビス { (トリフルオロメチル) ジカルボキシフェノキシ } ベンゼン、ビス { (トリフル オロメチル)ジカルボキシフェノキシ } (トリフルオロメ チル)ベンゼン、ビス(ジカルボキシフェノキシ)(トリフ ルオロメチル)ベンゼン、ビス(ジカルボキシフェノキ シ)ビス(トリフルオロメチル)ベンゼン、ビス(ジカルボ キシフェノキシ)テトラキス(トリフルオロメチル)ベン ゼン、3,4,9,10-テトラカルボキシペリレン、2, 2 - ビス { 4 - (3, 4 - ジカルボキシフェノキシ)フェ

ニル } プロパン、ブタンテトラカルボン酸、シクロペン タンテトラカルボン酸、2,2-ビス{4-(3,4-ジ カルボキシフェノキシ)フェニル } ヘキサフルオロプロ パン、ビス { (トリフルオロメチル)ジカルボキシフェノ キシ } ビフェニル、ビス { (トリフルオロメチル)ジカル ボキシフェノキシ } ビス(トリフルオロメチル)ビフェニ 20 ル、ビス { (トリフルオロメチル)ジカルボキシフェノキ シ } ジフェニルエーテル、ビス(ジカルボキシフェノキ シ)ビス(トリフルオロメチル)ビフェニル、ビス(3,4 - ジカルボキシフェニル)ジメチルシラン、1,3-ビス (3,4-ジカルボキシフェニル)テトラメチルジシロキ サン、1,4-ビス(3,4-ジカルボキシトリフルオロ フェノキシ)テトラフルオロベンゼン、1,4-ビス(3, 4 - ジカルボキシトリフルオロフェノキシ)オクタフル オロビフェニル、1,4-ジフルオロピロメリット酸、 1 - トリフルオロメチル - 4 - フルオロピロメリット 30 酸、1,4-ジ(トリフルオロメチル)ピロメリット酸、 1 - ペンタフルオロエチル - 4 - フルオロピロメリット 酸、1-ペンタフルオロエチル-4-トリフルオロメチ ルピロメリット酸、1,4-ジ(ペンタフルオロエチル) ピロメリット酸、1-ペンタフルオロフェニル-4-フ ルオロピロメリット酸、1 - ペンタフルオロフェニル -4 - トリフルオロメチルピロメリット酸、1 - ペンタフ ルオロフェニル・4・ペンタフルオロエチルピロメリッ ト酸、1,4-ジ(ペンタフルオロフェニル)ピロメリッ ト酸、1-トリフルオロメトキシ-4-フルオロピロメ 40 リット酸、1-トリフルオロメトキシ-4-トリフルオ ロメチルピロメリット酸、1-トリフルオロメトキシ-4 - ペンタフルオロエチルピロメリット酸、1 - トリフ ルオロメトキシ - 4 - ペンタフルオロフェニルピロメリ ット酸、1,4-ジ(トリフルオロメトキシ)ピロメリッ ト酸、1-ペンタフルオロエトキシ-4-フルオロピロ メリット酸、1-ペンタフルオロエトキシ-4-トリフ ルオロメチルピロメリット酸、1-ペンタフルオロエト キシ・4・ペンタフルオロエチルピロメリット酸、1・ ペンタフルオロエトキシ・4・ペンタフルオロフェニル 50 ピロメリット酸、1-ペンタフルオロエトキシ-4-ト

40

リフルオロメトキシピロメリット酸、1,4-ジ(ペンタ フルオロエトキシ) ピロメリット酸、1 - ペンタフルオ ロフェノキシ-4-フルオロピロメリット酸、1-ペン タフルオロフェノキシ・4 - トリフルオロメチルピロメ リット酸、1-ペンタフルオロフェノキシ-4-ペンタ フルオロエチルピロメリット酸、1 - ペンタフルオロフ ェノキシ・4 - ペンタフルオロフェニルピロメリット 酸、1-ペンタフルオロフェノキシ-4-トリフルオロ メトキシピロメリット酸、1 - ペンタフルオロフェノキ シ-4-ペンタフルオロエトキシピロメリット酸、1, 4 - ジ(ペンタフルオロフェノキシ)ピロメリット酸、ヘ キサフルオロ - 3,3',4,4' - ビフェニルテトラカル ボン酸、ヘキサフルオロ・3,3',4,4'-ビフェニル エーテルテトラカルボン酸、ヘキサフルオロ-3,3', 4,4'-ベンゾフェノンテトラカルボン酸、ビス(3, 4 - ジカルボキシトリフルオロフェニル)スルホン、ビ ス(3,4-ジカルボキシトリフルオロフェニル)スル フィド、ビス(3,4-ジカルボキシトリフルオロフェ ニル)ジフルオロメタン、1,2-ビス(3,4-ジカル ボキシトリフルオロフェニル)テトラフルオロエタン、 2,2-ビス(3,4-ジカルボキシトリフルオロフェニ ル)ヘキサフルオロプロパン、1,4-ビス(3,4-ジ カルボキシトリフルオロフェニル) テトラフルオロベン ゼン、3,4-ジカルボキシトリフルオロフェニル-3',4'-ジカルボキシトリフルオロフェノキシ-ジフ ルオロメタン、ビス(3,4-ジカルボキシトリフルオ ロフェノキシ)ジフルオロメタン、1,2-ビス(3,4 - ジカルボキシトリフルオロフェノキシ)テトラフルオ ロエタン、2,2-ビス(3,4-ジカルボキシトリフル オロフェノキシ) ヘキサフルオロプロパン、1,4-ビ ス(3,4-ジカルボキシトリフルオロフェノキシ)テ トラフルオロベンゼン、2,3,6,7-テトラカルボキ シ-テトラフルオロナフタレン、2,3,6,7-テトラ カルボキシ - ヘキサフルオロアントラセン、2,3,6, 7 - テトラカルボキシ - ヘキサフルオロフェナントレ ン、2,3,6,7-テトラカルボキシ-テトラフルオロ ビフェニレン、2,3,7,8-テトラカルボキシ-テト ラフルオロジベンゾフラン、2,3,6,7-テトラカル ボキシ-テトラフルオロアントラキノン、2,3,6,7 - テトラカルボキシ - ペンタフルオロアントロン、2, 3,7,8-テトラカルボキシ-テトラフルオロフェノキ サチイン、2,3,7,8-テトラカルボキシ-テトラフ ルオロチアントレン、2,3,7,8-テトラカルボキシ - テトラフルオロジベンゾ[b,e]1,4ジオキサン等を 挙げることができる。

15

【 0 0 3 6 】また、ジアミンとしては、m - フェニレン ジアミン、2,4-ジアミノトルエン、2,4-ジアミノ キシレン、2,4-ジアミノデュレン、4-(1H,1H, 1 1 H - エイコサフルオロウンデカノキシ) - 1,3 - ジ アミノベンゼン、4 - (1 H, 1 H - パーフルオロ - 1 -

ブタノキシ) - 1,3 - ジアミノベンゼン、4 - (1H,1 H - パーフルオロ - 1 - ヘプタノキシ) - 1,3 - ジアミ ノベンゼン、4 - (1 H, 1, H - パーフルオロ - 1 - オ クタノキシ) - 1,3 - ジアミノベンゼン、4 - ペンタフ ルオロフェノキシ・1,3・ジアミノベンゼン、4・ (2,3,5,6-テトラフルオロフェノキシ) - 1,3 - ジ アミノベンゼン、4-(4-フルオロフェノキシ)-1, 3 - ジアミノベンゼン、4 - (1H, 1H, 2H, 2H - パ ーフルオロ・1・ヘキサノキシ)・1,3・ジアミノベン 10 ゼン、4-(1H,1H,2H,2H-パーフルオロ-1-ドデカノキシ) - 1,3 - ジアミノベンゼン、p - フェニ レンジアミン、2,5-ジアミノトルエン、2,3,5,6 - テトラメチル - p - フェニレンジアミン、 2,5 - ジ アミノベンゾトリフルオライド、ビス(トリフルオロメ チル)フェニレンジアミン、ジアミノテトラ(トリフルオ ロメチル)ベンゼン、ジアミノ(ペンタフルオロエチル) ベンゼン、2,5-ジアミノ(パーフルオロヘキシル)ベ ンゼン、2,5-ジアミノ(パーフルオロブチル)ベンゼ ン、ベンジジン、2,2'-ジメチルベンジジン、3,3' - ジメチルベンジジン、3,3'- ジメトキシベンジジ ン、2,2'-ジメトキシベンジジン、3,3',5,5'-テトラメチルベンジジン、3,3'-ジアセチルベンジジ ン、2,2'-ビス(トリフルオロメチル)-4,4'-ジア ミノビフェニル、3,3'-ビス(トリフルオロメチル)-4,4'-ジアミノビフェニル、4,4'-オキシジアニリ ン、4,4'-ジアミノジフェニルメタン、4,4'-ジア ミノジフェニルスルホン、2,2-ビス(p-アミノフェ ニル)プロパン、3,3'-ジメチル-4,4'-ジアミノ ジフェニルエーテル、3,3'-ジメチル-4,4'-ジア ミノジフェニルメタン、1,2-ビス(アニリノ)エタ ン、2,2 - ビス(p - アミノフェニル)ヘキサフルオロ プロパン、1,3-ビス(アニリノ)ヘキサフルオロプロ パン、1,4-ビス(アニリノ)オクタフルオロブタン、 1,5-ビス(アニリノ)デカフルオロペンタン、1,7-ビス(アニリノ)テトラデカフルオロヘプタン、2,2'-ビス(トリフルオロメチル) - 4,4'-ジアミノジフェニ ルエーテル、3,3'-ビス(トリフルオロメチル)-4, 4'-ジアミノジフェニルエーテル、3,3',5,5'-テ トラキス(トリフルオロメチル) - 4,4'-ジアミノジフ ェニルエーテル、3,3'-ビス(トリフルオロメチル)-4,4'-ジアミノベンゾフェノン、4,4''-ジアミノ - p - テルフェニル、1,4 - ビス(p - アミノフェニ ル)ベンゼン、p-ビス(4-アミノ-2-トリフルオロ メチルフェノキシ)ベンゼン、ビス(アミノフェノキシ) ビス(トリフルオロメチル)ベンゼン、ビス(アミノフェ ノキシ)テトラキス(トリフルオロメチル)ベンゼン、4, 4''' - ジアミノ - p - クォーターフェニル、4,4' -ビス(p-アミノフェノキシ)ビフェニル、2,2-ビス { 4 - (p - アミノフェノキシ)フェニル } プロパン、 4,4'-ビス(3-アミノフェノキシフェニル)ジフェニ

30

50

17 ルスルホン、2,2-ビス{4-(4-アミノフェノキ シ)フェニル } ヘキサフルオロプロパン、2,2 - ビス { 4 - (3 - アミノフェノキシ)フェニル } ヘキサフルオ ロプロパン、2,2-ビス{4-(2-アミノフェノキ シ)フェニル } ヘキサフルオロプロパン、2,2-ビス { 4 - (4 - アミノフェノキシ) - 3,5 - ジメチルフェ ニル } ヘキサフルオロプロパン、2,2-ビス {4-(4 - アミノフェノキシ) - 3,5 - ジトリフルオロメチルフ ェニル } ヘキサフルオロプロパン、4,4'-ビス(4-アミノ-2-トリフルオロメチルフェノキシ)ビフェニ ル、4,4'-ビス(4-アミノ-3-トリフルオロメチ ルフェノキシ)ビフェニル、4,4'-ビス(4-アミノ-2 - トリフルオロメチルフェノキシ)ジフェニルスルホ ン、4,4'-ビス(3-アミノ-5-トリフルオロメチ ルフェノキシ)ジフェニルスルホン、2,2-ビス{4-(4-アミノ-3-トリフルオロメチルフェノキシ)フェ ニル } ヘキサフルオロプロパン、ビス { (トリフルオロ メチル)アミノフェノキシ } ビフェニル、ビス [{(トリ フルオロメチル)アミノフェノキシ}フェニル]ヘキサ フルオロプロパン、ジアミノアントラキノン、1,5-ジアミノナフタレン、2,6-ジアミノナフタレン、ビ ス[{2-(アミノフェノキシ)フェニル}ヘキサフルオ ロイソプロピル]ベンゼン、ビス(2,3,5,6-テトラ フルオロ・4・アミノフェニル)エーテル、ビス(2,3, 5,6-テトラフルオロ-4-アミノフェニル)スルフィ ド、1,3-ビス(3-アミノプロピル)テトラメチルジ シロキサン、1,4-ビス(3-アミノプロピルジメチル シリル)ベンゼン、ビス(4-アミノフェニル)ジエチル シラン、テトラフルオロ・1,2・フェニレンジアミ ン、テトラフルオロ・1,3・フェニレンジアミン、テ トラフルオロ・1,4・フェニレンジアミン、ヘキサフ ルオロ・1,5・ジアミノナフタレン、ヘキサフルオロ - 2,6 - ジアミノナフタレン、3 - トリフルオロメチ ル・トリフルオロ・1,2・フェニレンジアミン、4・ トリフルオロメチル - トリフルオロ - 1,2 - フェニレ ンジアミン、2 - トリフルオロメチル - トリフルオロ -1,3-フェニレンジアミン、4-トリフルオロメチル - トリフルオロ - 1,3 - フェニレンジアミン、5 - ト リフルオロメチル・トリフルオロ・1,3・フェニレン ジアミン、2 - トリフルオロメチル - トリフルオロ -1,4-フェニレンジアミン、3,4-ビス(トリフルオ ロメチル) - ジフルオロ - 1,2 - フェニレンジアミン、 3,5-ビス(トリフルオロメチル)-ジフルオロ-1,2 - フェニレンジアミン、2,4 - ビス(トリフルオロメチ ル) - ジフルオロ - 1,3 - フェニレンジアミン、4,5 - ビス(トリフルオロメチル) - ジフルオロ - 1,3 - フ ェニレンジアミン、4,6-ビス(トリフルオロメチル) ジフルオロ・1,3・フェニレンジアミン、2,3・ビ ス(トリフルオロメチル) - ジフルオロ - 1,4 - フェニ レンジアミン、2,5-ビス(トリフルオロメチル)-ジ

フルオロ・1,4-フェニレンジアミン、3,4,5-トリス (トリフルオロメチル) - フルオロ - 1,2 - フェニレンジ アミン、3,4,6 - トリス(トリフルオロメチル) - フルオ ロ-1,2-フェニレンジアミン、2,4,5-トリス(トリフ ルオロメチル) - フルオロ - 1,3 - フェニレンジアミン、 2,4,6 - トリス(トリフルオロメチル) - フルオロ - 1,3 -フェニレンジアミン、4,5,6 - トリス(トリフルオロメチ ル) - フルオロ - 1,3 - フェニレンジアミン、テトラキス (トリフルオロメチル) - 1,2 - フェニレンジアミン、 テトラキス(トリフルオロメチル) - 1,3 - フェニレン ジアミン、テトラキス(トリフルオロメチル) - 1,4 -フェニレンジアミン、3 - ペンタフルオロエチル - トリ フルオロ・1,2・フェニレンジアミン、4・ペンタフ ルオロエチル・トリフルオロ・1,2・フェニレンジア ミン、2-ペンタフルオロエチル-トリフルオロ-1, 3 - フェニレンジアミン、4 - ペンタフルオロエチル -トリフルオロ・1,3・フェニレンジアミン、5・ペン タフルオロエチル - トリフルオロ - 1,3 - フェニレン ジアミン、2 - ペンタフルオロエチル - トリフルオロ -1,4-フェニレンジアミン、3-トリフルオロメトキ シ-トリフルオロ-1,2-フェニレンジアミン、4-トリフルオロメトキシ・トリフルオロ・1,2・フェニ レンジアミン、2 - トリフルオロメトキシ - トリフルオ ロ・1,3・フェニレンジアミン、4・トリフルオロメ トキシ・トリフルオロ・1,3・フェニレンジアミン、 5 - トリフルオロメトキシ - トリフルオロ - 1,3 - フ ェニレンジアミン、2 - トリフルオロメトキシ - トリフ ルオロ・1,4・フェニレンジアミン、3,3'・ジアミ ノ-オクタフルオロビフェニル、3,4'-ジアミノ-オ クタフルオロビフェニル、4,4'-ジアミノ-オクタフ ルオロビフェニル、2,2' - ビス(トリフルオロメチル) - 4,4'-ジアミノヘキサフルオロビフェニル、3,3' - ビス(トリフルオロメチル) - 4,4' - ジアミノヘキサ フルオロビフェニル、ビス(3-アミノ-テトラフルオ ロフェニル)エーテル、3,4'-ジアミノ-オクタフル オロビフェニルエーテル、ビス(4-アミノ-テトラフ ルオロフェニル) エーテル、3,3'-ジアミノ-オクタ フルオロベンゾフェノン、3,4'-ジアミノ-オクタフ ルオロベンゾフェノン、4,4'-ジアミノ-オクタフル 40 オロベンゾフェノン、ビス(3-アミノ-テトラフルオ ロフェニル)スルホン、3,4'-ジアミノ-オクタフル オロビフェニルスルホン、ビス(4-アミノ-テトラフ ルオロフェニル)スルホン、ビス(3-アミノ-テトラ フルオロフェニル)スルフィド、3,4'-ジアミノ-オ クタフルオロビフェニルスルフィド、ビス(4-アミノ - テトラフルオロフェニル)スルフィド、ビス(4-ア ミノテトラフルオロフェニル)ジフルオロメタン、1, 2 - ビス (4 - アミノテトラフルオロフェニル) テトラ フルオロエタン、2,2 - ビス(4-アミノテトラフルオ ロフェニル) ヘキサフルオロプロパン、4,4"-ジアミ

40

19

ノ・ドデカフルオロ・p・テルフェニル、4・アミノ・ テトラフルオロフェノキシ - 4 ' - アミノ - テトラフル オロフェニル - ジフルオロメタン、ビス(4 - アミノ -テトラフルオロフェノキシ) - ジフルオロメタン、1,2 - ビス(4-アミノ-テトラフルオロフェノキシ)-テト ラフルオロエタン、2,2-ビス(4-アミノ-テトラフ ルオロフェノキシ) - ヘキサフルオロプロパン、1,4-ビス(4-アミノ-テトラフルオロフェノキシ)-テトラ フルオロベンゼン、2,6-ジアミノ-ヘキサフルオロ ナフタレン、2,6-ジアミノ-オクタフルオロアント ラセン、2,7-ジアミノ-オクタフルオロフェナント レン、2,6-ジアミノ-ヘキサフルオロビフェニレ ン、2,7-ジアミノ-ヘキサフルオロジベンゾフラ ン、2,6-ジアミノ-ヘキサフルオロアントラキノ ン、2,6-ジアミノ-オクタフルオロアントロン、2, 7 - ジアミノ - ヘキサフルオロフェノキサチイン、2, 7 - ジアミノ - ヘキサフルオロチアントレン等を挙げる ことができる。

【 0 0 3 7 】上記のテトラカルボン酸またはその誘導体とジアミンとの組合せにより合成されるポリイミドの中で、優れた光透過性と屈折率制御性を示す観点から、以下のポリイミドを光導波路材料として用いることが好ましい。

(1)ピロメリット酸二無水物(PMDA)および2,2・ビス(3,4・ジカルボキシジフェニル)へキサフルオロプロパン二無水物(6FDA)の2種類の酸二無水物をテトラカルボン酸誘導体として用い、2,2'・ビス(トリフルオロメチル)・4,4'・ジアミノジフェニル(TFDB)をジアミンとして用いた含フッ素ポリイミド共重合体、(2)PMDAまたは6FDAのいずれか1つをテトラカルボン酸誘導体として用い、TFDBをジアミンとして用いた単独重合体のホモポリイミド、(3)6FDAをテトラカルボン酸として用い、TFDBおよび4,4'・オキシジアニリン(ODA)の2種類をジアミンとして用いた含フッ素ポリイミド共重合体、(4)6FDAとODAとから合成される単独重合体のホモポリイミド。

【0038】さらに、本発明に用いるポリイミドは、共 重合体の他にポリイミド混合物であってもよい。ポリイ ミド混合物は、ポリイミド前駆体であるポリアミド酸溶 液の混合物を経由して合成することができる。

【0039】次に、本発明の埋め込み型の異形ポリイミド光導波路の製造方法を、図1を参照して説明する。図1は、コア幅がコア高さよりも大きく、かつコアを形成するためのエッチング深さがコア層の厚さよりも大きい本発明の異形ポリイミド導波路の製造方法である。図1中において、符号1は基板、符号2は下部クラッド層、符号3はコア層、符号4はコアパターンを形成するためのマスク層、符号5はレジスト層、符号6は上部クラッド層を示す。

【0040】シリコン等の基板1の上に下部クラッド層用のポリイミド材料(あるいはその前駆体であるポリアミド酸溶液)をスピンコート等の方法により塗布し、これを加熱等により硬化して、下部クラッド層を形成する。基板1としては、表面の平滑性に優れ、ポリイミドを形成するための熱処理に耐えうる材料を用いることができる。基板1として好ましい材料は、シリコンウェハ、アルミニウム、ステンレスもしくは鋼等の金属板、ポリイミド等の耐熱性樹脂基板、ガラス基板、またはセラミック基板等を含む。これら材料のなかでも、表面の平滑性、優れた耐熱性および低価格を考慮すると、シリコンウェハが好ましい材料である。

【0041】次に、図1(a)に示すように、下部クラッド層用ポリイミド材料よりも大きな屈折率を有するポリイミド材料を用いてコア層3を形成する。コア層3の形成方法としては、下部クラッド層2の形成と同様の方法を用いることができる。さらに、コア層3の上にコアパターンを得るためのマスク層4を形成する。マスク層としては、アルミニウムまたはチタンなどの金属、SiO2、スピンオングラス(SOG)、Si含有レジスト、感光性ポリイミドなどを用いることができる。

【0042】マスク層4を形成した後に、レジスト塗布、プリベーク、露光、現像、アフターベークの工程を行い、図1(b)に示すようなパターニングされたレジスト層5を得る。この際に、パターニングされたレジスト層の幅をコア層3の厚さよりも大きくすることによって、コア幅がコア高さよりも大きいコアを形成することができる。コア幅(すなわちレジスト層の幅)は、コア高さ(すなわちコア層の厚さ)の1倍より大きく、かつ2以下とすること(すなわち、コア幅対コア高さの比を1より大きく2以下とすること)が好ましい。

【0043】次に、図1(c)に示すように、レジスト層5により保護されていないマスク層4をエッチングして除去する。この際に、マスク層4としてSi含有レジストまたは厚膜の感光性ポリイミドを用いた場合には、それら材料を用いてパターニングをすることが可能なので、レジスト層5を設ける必要はない。

【0044】そして、図1(d)に示すように、上記のようにパターニングを伴って形成されたレジスト層5およびマスク層4をエッチングマスクとして用い、該エッチングマスクによって保護されていないコア層3をドライエッチングにより除去して、パターニングされたコアを形成する。この際にドライエッチングの深さをコア層3の厚さよりも大きく設定することにより、下部クラッド層の一部をもエッチング除去している。

【 0 0 4 5 】次に、図 1 (e) に示すように、残ったマスク層 4 を、ドライエッチングあるいは剥離液を用いることにより除去する。そして、図 1 (f) に示すように、コア層として用いたポリイミド材料よりも小さい屈50 折率を有するポリイミド材料を用いて上部クラッド層 6

(12)

を形成する。その形成方法としては、下部クラッド層 2 を形成する方法と同様の方法を使用することができる。 【 0 0 4 6 】以上の工程を経ることにより、埋め込み型の異形ポリイミド光導波路を作製することができる。 さらに上記の基板上に形成された埋め込み型光導波路から基板を除去すること、および必要に応じて熱処理を行うことで、図 1 (g)に示すような。コア幅がコア高さより大きく、かつエッチング深さがコア高さより小さい埋め込み型の異形ポリイミドフィルム光導波路を作製することができる。

【0047】以上に述べた作製方法を一部変更することにより、種々の構造の異形ポリイミド光導波路を作製することができる。コア幅とコア高さを同一にしたい場合には、パターニングされるレジスト層5あるいはマスク層4の幅を、コア層3の高さと同一にすればよいし、あるいはまたコア高さをコア幅より大きくしたい場合は、レジスト層5あるいはマスク層4の幅を、コア層3の高さよりも小さくすればよい。すなわち、コア幅は、フォトマスクの設計(具体的には、レジスト層5の幅、あるいはマスク層4としてSi含有レジストもしくは感光性 20ポリイミドを用いた場合のマスク層4の幅など)によって任意に選択することができる。

【0048】また、コア層のエッチング深さをコアの高さと同一にしたい場合には、コア層のエッチング量をコア層の厚さと同一にすればよいし、コア層のエッチング深さをコアの高さよりも小さくしたい場合には、コア層のエッチング量をコア層の厚さよりも小さく設定すればよい。さらに、コア層のエッチング量は、コア層のエッチング速度とエッチング時間の積によって決定される。したがって、コア層のエッチング速度をあらかじめ求め 30 ておけば、エッチング時間によってコア層のエッチング量を制御することが可能である。

【0049】さらに、スピンコート法によりコア層3を形成する場合には、コア高さ(すなわちコア層の厚さ)はスピンコートの回転数などにより制御することができる。以上に述べた種々のパラメータ(フォトマスクの設計、エッチング量、コア層の厚さなど)を適切に設定することにより、図2(a)~(h)に示すような、種々の構造を有する異形ポリイミド光導波路を作製することができる。

および14.0µmに設計すると、それぞれコア幅対コア高さの比が0.7、0.9の縦長コア断面、1.1、1.2および2.0の横長コア断面を有する光導波路を形成することができ、これらのコア断面を有する光導波路は、いずれも低損失であり、かつシングルモード導波路として機能する。

【0051】コア高さとエッチング深さの観点から見る と、図2(a)、(d)および(f)は、コア高さより もエッチング深さが大きい異形ポリイミド光導波路であ る。これらのようにコア高さよりもエッチング深さを大 きくする場合には、エッチング深さを、コア高さの10 0%より大きく130%以下とすることが好ましい。す なわち、コアが形成されていない部分の下部クラッド層 の厚さは、コア高さの0%より大きくかつ30%以下の 範囲内で、コアが形成されている部分の下部クラッド層 の厚さよりも薄い。このようにエッチング深さをコア高 さよりも大きくすることによって、エッチング終点をコ アから遠ざけることが可能となり、エッチング終点にお ける種々の形状効果、すなわちエッチング上面の表面荒 れに基づく不良界面およびエッチング時に生じるコア側 面脇のクラック等をコアから遠ざけることができる。し たがって、コア側面の高精度な垂直性および均一性を達 成することができ、それらエッチング終点の効果による 性能劣化を抑制することができる。

【 0 0 5 2 】一方、図 2 (c)、(e) および(h) は、エッチング深さよりもコア高さが大きい異形ポリイ ミド光導波路、すなわち突起部を有するコア層を有する 異形ポリイミド光導波路である。これらのようにエッチ ング深さよりもコア高さ(すなわち、コア層の厚さ)を 大きくする場合には、エッチング深さを、コア高さの7 0%以上100%未満とすることが好ましく、特に導波 する光の閉じ込め効果を損なわないために、コア高さの 90%以上100%未満とすることがより好ましい。す なわち、突起部以外のコア層の厚さは、コア高さの0% より大きく30%以下、より好ましくはコア高さの0% より大きく10%以下である。このようにコア高さをエ ッチング深さよりも大きくすることによって、コア部分 の位置安定性を向上させるとともに、光導波路作製に伴 う歪み(応力発生)により生じる性能劣化を抑制するこ 40 とができる。なお、この場合、突起部と突起部の下にあ るコア層を併せた矩形領域11がコアとして機能する。 【0053】コア幅対コア高さの比あるいはエッチング 深さを上記範囲外とすると、光導波路のシングルモード 導波が困難となるばかりではなく、TEモードまたはT Mモードの損失の増加、あるいはTEモードとTMモー ドとの損失の差(偏波依存損失)の増加をもたらす。 [0054]

【実施例】引き続いて、いくつかの実施例を用いて、本 発明をさらに詳しく説明する。なお、種々のポリイミド 共重合体および混合物の組合せにより、あるいは光導波 路構造の差異により、無数の異形ポリイミド光導波路が 得られることは明らかであり、本発明がこれらの実施例 のみに限定されるものではないことを理解すべきであ る。

【0055】作製した光導波路のコア形状の確認は、光学顕微鏡を用いて行った。また、作製した光導波路の導波モードと損失を、以下のように測定した。まず、入射端より、波長1.3µmの導波路フィルム面と平行な方向の偏波光(TEモード光)および波長1.3µmの導波路フィルム面と垂直な方向の偏波光(TMモード光)を入射した。光導波路の出射光の強度分布(ニアフィールドモードパターン)を測定することにより導波モードを求めた。また、入射光と出射光の強度差を光導波路長で除算し、単位長さ当たりの光損失を求めた。

【0056】(実施例1)4インチシリコン基板に対して、2,2・ビス(3,4・ジカルボキシフェニル)へキサフルオロプロパン二無水物(6FDA)と2,2、・ビス(トリフルオロメチル)・4,4、・ジアミノジフェニル(TFDB)とから合成されるポリイミド(6FDA/TFDB)の前駆体であるポリアミド酸の15質量%ジメチルアセトアミド(DMAc)溶液を、スピンコート法により塗布した。この塗膜を、乾燥窒素ガス雰囲気のイナートオーブン中で加熱してイミド化し、ポリイミド(6FDA/TFDB)からなる下部クラッド層を形成した。

【0057】次に、この下部クラッド層上に、15モル %のピロメリット酸二無水物(PMDA)と35モル% の6FDAと50モル%のTFDBとから合成されるポ リイミド共重合体(30モル%のPMDA/TFDBと 70 モル%の6 FDA / TFDBとからなるポリイミド 30 共重合体)の前駆体であるポリアミド酸の15質量%D MAc溶液を、スピンコート法により塗布した。この塗 膜を、乾燥窒素ガス雰囲気のイナートオーブン中で加熱 してイミド化し、厚さ7.1μmのコア層を形成した。 【 0 0 5 8 】次に、このコア層上に、膜厚 0 . 3 μ mの アルミニウム層(マスク層)を蒸着した。そして、この アルミニウム層状にポジ型フォトレジストをスピンコー ト法により塗布した後に、約95 においてプリベーク を行った。次にパターン形成用のフォトマスクと超高圧 水銀灯とを用いて紫外線を照射した後に、ポジ型レジス ト用現像液を用いて現像し、135 においてポストベ ークを行った。このようにして、線幅10.3 μ m を有 する直線状のパターンを有するレジスト層を形成した。 【0059】次に、ウェットエッチングにより露出して いるアルミニウムを除去し、レジストパターンをアルミ ニウム層に転写した。さらに、転写されたパターンを有 するアルミニウム層をマスクとして、コア層上面から 9.0µmの深さまでのコア層および下部クラッド層の ポリイミドを、酸素プラズマを用いたドライエッチング

として用いたアルミニウムを、エッチング液を用いて除去した。

【0060】そして、下部クラッド層と同一のポリイミド(6FDA/TFDB)の前駆体であるポリアミド酸の15質量%DMAc溶液を、スピンコート法により塗布した。この塗膜を、乾燥窒素ガス雰囲気のイナートオーブン中で加熱してイミド化し、上部クラッド層を形成した。最後に光導波路の両端を、ダイシングソーで切り落として、光の入出射端面を形成した。

10 【0061】このようにして、図2(a)に示すような、コア幅w対コア高さhの比が1.45であり、エッチング深さがコア高さの127%である埋め込み型異形ポリイミド光導波路が得られた。コア3が形成されていない部分の下部クラッド層の厚さは、コア3が形成されている部分の下部クラッド層よりも、コア高さの27%(1.9µm)薄い。この光導波路のTEモードでの導波光は、シングルモードであった。また、この光導波路のTEモードおよびTMモードでの損失は、共に1.0dB/cm以下であり、偏波依存損失は0.5dB/cm以下であった。

【0062】(実施例2)コア層を形成する材料として50モル%の6FDAと12.5モル%の4,4 $^{\prime}$ -オキシジアニリン(ODA)と37.5モル%のTFDBとから合成されるポリアミド酸のDMAc溶液を用いて、25モル%の6FDA/ODAと75モル%の6FDA/TFDBとのポリイミド共重合体からなるコア層を形成し、コア高さ(コア層の厚さ)を8.0 μ mとし、線幅を11.5 μ mとし、エッチング深さを9.1 μ mとした以外は、実施例1の方法を繰り返して、光導波路を形成した。

【0063】このようにして、図2(a)に示すような、コア幅w対コア高さhの比が1.44であり、エッチング深さがコア高さの114%である埋め込み型異形ポリイミド光導波路が得られた。この光導波路のTEモードでの導波光は、シングルモードであった。また、この光導波路のTEモードおよびTMモードでの損失は、共に1.0dB/cm以下であり、偏波依存損失は0.5dB/cm以下であった。

【0064】(実施例3)コア層を形成する材料として50モル%の6FDAと10モル%のODAと40モル%のTFDBとから合成されるポリアミド酸のDMAc溶液を用いて、20モル%の6FDA/ODAと80モル%の6FDA/TFDBとのポリイミド共重合体からなるコア層を形成し、コア高さ(コア層の厚さ)を8.0μmとし、線幅を8.8μmとし、エッチング深さを8.0μmとした以外は、実施例1の方法を繰り返して、光導波路を形成した。

9.0 µ mの深さまでのコア層および下部クラッド層の 【0065】このようにして、図2(b)に示すようポリイミドを、酸素プラズマを用いたドライエッチング な、コア幅w対コア高さhの比が1.10であり、エッにより除去した。そして、コア層上部に残存するマスク 50 チング深さがコア高さと等しい埋め込み型異形ポリイミ

ド光導波路が得られた。この光導波路のTEモードでの 導波光は、シングルモードであった。また、この光導波 路のTEモードおよびTMモードでの損失は、共に1. 0 d B / c m以下であり、偏波依存損失は0.5 d B / c m以下であった。

【 0 0 6 6 】 (実施例 4) コア層を形成する材料として 5 0 モル%の 6 F D A と 2 0 モル%の O D A と 3 0 モル%の T F D B とから合成されるポリアミド酸の D M A c 溶液を用いて、 4 0 モル%の 6 F D A / O D A と 6 0 モル%の 6 F D A / T F D B とのポリイミド共重合体から なるコア層を形成し、コア高さ(コア層の厚さ)を 7 . 0 μ mとし、線幅を 1 2 . 0 μ mとし、エッチング深さを 6 . 3 μ mとした以外は、実施例 1 の方法を繰り返して、光導波路を形成した。

【0067】このようにして、図2(c)に示すような、コア幅w対コア高さhの比が1.71であり、エッチング深さがコア高さの90%である埋め込み型異形ポリイミド光導波路が得られた。すなわちコア部分11以外のコア層3の厚さは、コア高さの10%(0.7μm)である。この光導波路のTEモードでの導波光は、シングルモードであった。また、この光導波路のTEモードおよびTMモードでの損失は、共に1.0dB/cm以下であり、偏波依存損失は0.5dB/cm以下であった。

【0068】(実施例5)下部クラッド層および上部クラッド層を形成する材料として50モル%の6FDAと20モル%のODAと30モル%のTFDBとから合成されるポリアミド酸のDMAc溶液を用いて、40モル%の6FDA/TFDBとのポリイミド共重合体からなる上部クラッドおよび30下部クラッド層を形成し、コア高さ(コア層の厚さ)を8.0μmとし、線幅を8.8μmとし、エッチング深さを7.2μmとした以外は、実施例1の方法を繰り返して、光導波路を形成した。

【0069】このようにして、図2(c)に示すような、コア幅w対コア高さhの比が1.10であり、エッチング深さがコア高さの90%である埋め込み型異形ポリイミド光導波路が得られた。この光導波路のTEモードでの導波光は、シングルモードであった。また、この光導波路のTEモードおよびTMモードでの損失は、共40に1.0dB/cm以下であり、偏波依存損失は0.5dB/cm以下であった。

【0070】(実施例6)下部クラッド層および上部クラッド層を形成する材料として50モル%の6FDAと5モル%のODAと45モル%のTFDBとから合成されるポリアミド酸のDMAc溶液を用いて、10モル%の6FDA/TFDBとのポリイミド共重合体からなる上部クラッドおよび下部クラッド層を形成し、コア高さ(コア層の厚さ)を8.3μmとし、にッチング深50

さを 9.1μ mとした以外は、実施例1の方法を繰り返して、光導波路を形成した。

26

【0071】このようにして、図2(d)に示すような、コア幅w対コア高さhの比が1.00であり、エッチング深さがコア高さの110%である埋め込み型異形ポリイミド光導波路が得られた。この光導波路のTEモードでの導波光は、シングルモードであった。また、この光導波路のTEモードおよびTMモードでの損失は、共に1.0dB/cm以下であり、偏波依存損失は0.5dB/cm以下であった。

【 0 0 7 2 】 (実施例 7) コア層を形成する材料として 5 0 モル%の 6 F D A と 1 0 モル%の 0 D A と 4 0 モル%の T F D B とから合成されるポリアミド酸の D M A c 溶液を用いて、 2 0 モル%の 6 F D A / O D A と 8 0 モル%の 6 F D A / T F D B とのポリイミド共重合体からなるコア層を形成し、コア高さ (コア層の厚さ)を 8 . 2 μ mとし、線幅を 8 . 2 μ mとし、エッチング深さを 6 . 5 μ mとした以外は、実施例 1 の方法を繰り返して、光導波路を形成した。

20 【 0 0 7 3 】このようにして、図 2 (e)に示すような、コア幅w対コア高さ h の比が 1 . 0 0 であり、エッチング深さがコア高さの 7 9 %である埋め込み型異形ポリイミド光導波路が得られた。この光導波路の T E モードでの導波光は、シングルモードであった。また、この光導波路の T E モードおよび T M モードでの損失は、共に 1 . 0 d B / c m以下であり、偏波依存損失は 0 . 5 d B / c m以下であった。

【0074】(実施例8)下部クラッド層および上部クラッド層を形成する材料として50モル%の6FDAと15モル%の0DAと35モル%のTFDBとから合成されるポリアミド酸のDMAc溶液を用いて、30モル%の6FDA/ODAと70モル%の6FDA/TFDBとのポリイミド共重合体からなる上部クラッド商を形成し、コア層を形成する材料として100モル%の6FDAと50モル%の0TFDBとから合成されるポリアミド酸のDMAc溶液を用いて、50モル%の6FDA/ODAと50モル%の6FDA/TFDBとのポリイミド共重合体からなるコア層を形成し、コア高さ(コア層の厚さ)を8.0μmとし、線幅を7.3μmとし、エッチング深さを8.5μmとした以外は、実施例1の方法を繰り返して、光導波路を形成した。

【0075】このようにして、図2(f)に示すような、コア幅w対コア高さhの比が0.91であり、エッチング深さがコア高さの106%である埋め込み型異形ポリイミド光導波路が得られた。この光導波路のTEモードでの導波光は、シングルモードであった。また、この光導波路のTEモードおよびTMモードでの損失は、共に1.0dB/cm以下であり、偏波依存損失は0.5dB/cm以下であった。本実施例によって、コア幅

がコア高さより小さい光導波路、すなわち基板面に対し て微細で高密度な光導波路を作製することができた。

27

【0076】(実施例9)下部クラッド層および上部ク ラッド層を形成する材料として50モル%の6FDAと 5 モル%のODAと45モル%のTFDBとから合成さ れるポリアミド酸のDMAc溶液を用いて、10モル% の6FDA/ODAと90モル%の6FDA/TFDB とのポリイミド共重合体からなる上部クラッドおよび下 部クラッド層を形成し、コア高さ(コア層の厚さ)を 7.5 μmとし、線幅を6.1 μmとし、エッチング深 10 さを7.5µmとした以外は、実施例1の方法を繰り返 して、光導波路を形成した。

【0077】このようにして、図2(g)に示すよう な、コア幅w対コア高さhの比が0.81であり、エッ チング深さがコア高さと同一である埋め込み型異形ポリ イミド光導波路が得られた。この光導波路のTEモード での導波光は、シングルモードであった。また、この光 導波路のTEモードおよびTMモードでの損失は、共に 1.0 d B / c m以下であり、偏波依存損失は0.5 d B/cm以下であった。本実施例によって、コア幅がコ 20 ア高さより小さい光導波路、すなわち基板面に対して微 細で高密度な光導波路を作製することができた。

【0078】(実施例10)コア層を形成する材料とし て50モル%の6FDAと12.5モル%のODAと3 7.5モル%のTFDBとから合成されるポリアミド酸 のDMAc溶液を用いて、25モル%の6FDA/OD Aと75モル%の6FDA/TFDBとのポリイミド共 重合体からなる上部クラッドおよび下部クラッド層を形 成し、コア高さ(コア層の厚さ)を8.1μmとし、線 幅を6.0μmとし、エッチング深さを7.3μmとし 30 た以外は、実施例1の方法を繰り返して、光導波路を形 成した。

【0079】このようにして、図2(h)に示すよう な、コア幅w対コア高さhの比が0.74であり、エッ チング深さがコア高さの90%である埋め込み型異形ポ リイミド光導波路が得られた。この光導波路のTEモー ドでの導波光は、シングルモードであった。また、この 光導波路のTEモードおよびTMモードでの損失は、共 に1.0dB/cm以下であり、偏波依存損失は0.5 d B / c m以下であった。本実施例によって、コア幅が 40 示す流れ図である。 コア高さより小さい光導波路、すなわち基板面に対して 微細で高密度な光導波路を作製することができた。

【0080】(実施例11~20)コア層のエッチング マスクとして用いたアルミニウムと、マスクパターンの 形成に用いたポジ型フォトレジストに代えて、対酸素プ ラズマ性に優れたシリコン系レジストをマスク層として 用い、該シリコン系レジストをパターニングしたことを 除いて、実施例1~10の方法を繰り返して、実施例1 1~20の光導波路を作製した。実施例11~20の光 導波路の導波モードはいずれもシングルモードであっ た。さらに、実施例11~20の光導波路のTEモード およびTMモードにおける損失、ならびに偏波依存損失 は、いずれも実施例1~10の光導波路と同等であっ た。

【0081】(比較例1)コア高さ(コア層の厚さ)を 8.2 μ m と し、線幅を 8.2 μ m と し、エッチング深 さを8.2µmとした以外は、実施例1の方法を繰り返 して、コア幅w対コア高さhの比が1.00であり、エ ッチング深さがコア高さと同一である埋め込み型異形ポ リイミド光導波路を形成した。

【0082】しかし、この光導波路は、光の入出射端面 の位置、すなわち4インチウェハからの切り出し位置が 異なることにより、TEモードおよびTMモードにおけ る損失が変動した。さらに、実施例1~5および実施例 7と比較して、コアパターンのうねり等による加工不良 の発生が多かった。

[0083]

【発明の効果】以上説明したように、本発明の異形ポリ イミド光導波路は、従来のポリイミド光導波路と比較し て、TEモードおよびTMモードにおける損失が低くな るばかりではなく、パターン加工精度の向上および基板 面内の実装密度の向上を図ることができる。

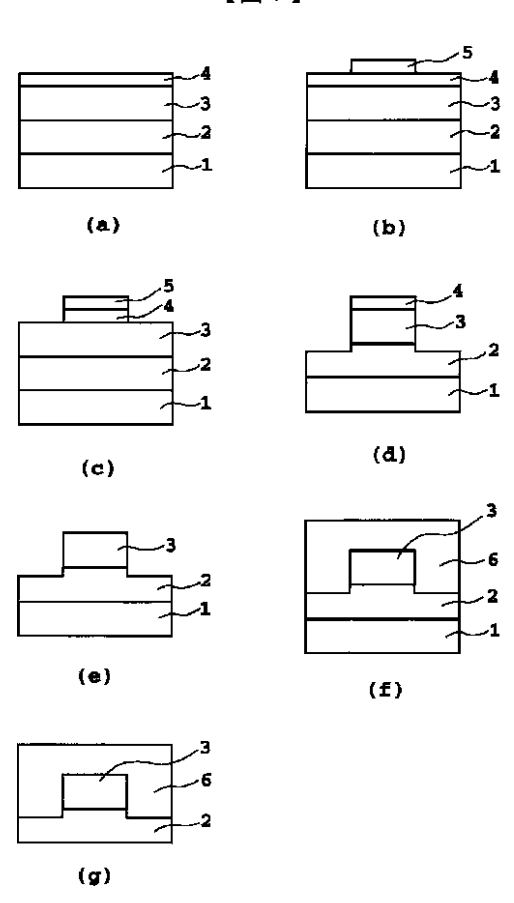
【0084】本発明の異形ポリイミド光導波路は、種々 の光配線(高密度または低密度、直線または曲線、種々 の形状を有する光出射面および光入射面との高効率な接 続)に適用することができ、および分岐回路あるいは方 向性結合器を含む光部品にも適用することができる。さ らに、本発明のポリイミド光導波路は、クラックあるい は応力に伴う性能劣化の抑制効果を奏する。

【図面の簡単な説明】

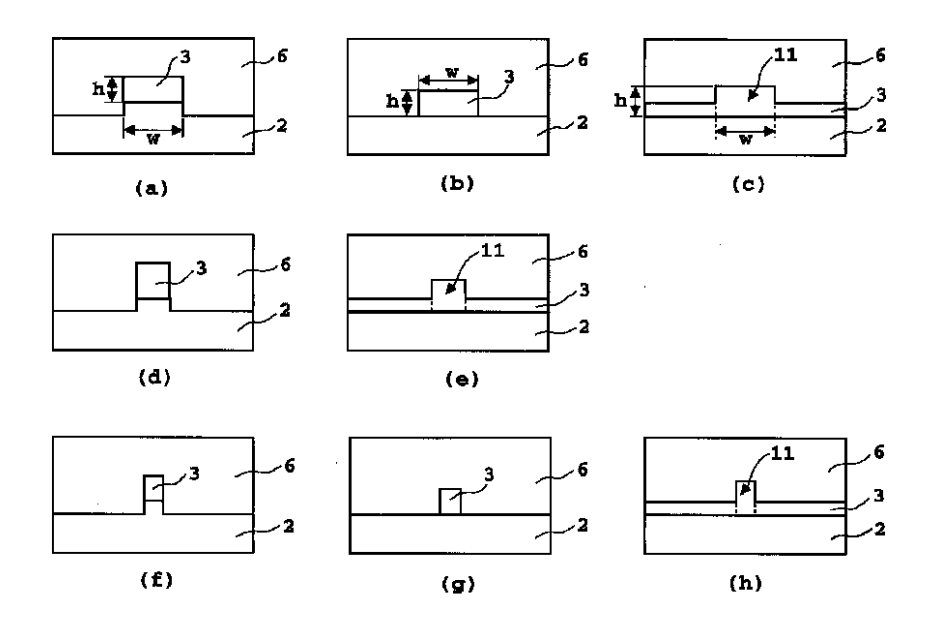
【図1】本発明の異形ポリイミド光導波路の製造方法を

【図2】本発明の異形ポリイミド光導波路の概略の断面 図である。

【図1】



【図2】



フロントページの続き

(72)発明者 安藤 慎治

東京都千代田区大手町二丁目 3 番 1 号 日 本電信電話株式会社内

(72)発明者 山本 二三男

東京都千代田区大手町二丁目3番1号 日

本電信電話株式会社内

(72)発明者 山田 典義

東京都千代田区大手町二丁目3番1号 日

本電信電話株式会社内

F ターム(参考) 2H047 KA04 PA24 PA28 QA05 TA35